

# ПЕРЕМЕННЫЕ ЗВЕЗДЫ

Том 13

№ 1 (103)

1960

## О периодах короткопериодических цефеид в направлении галактического центра

Е.Д.Павловская

В результате настоящей работы было показано, что для значительной части короткопериодических цефеид в направлении галактического центра ( $\alpha = 18^{\text{h}}00^{\text{m}}$ ,  $\delta = -30^\circ 2$ ) С.И. Гапошкиным найдены не истинные, а сопряженные периоды.

Были проверены и уточнены периоды 76 короткопериодических цефеид, при этом использовались только наблюдения С.И. Гапошкина.

При сравнении распределений периодов короткопериодических цефеид в изученной области с распределениями тех же величин во всей Галактике и в пяти шаровых скоплениях было отмечено сходство распределений периодов в изученной области и в шаровом скоплении NGC 5904.

Сравнение диаграмм период – амплитуда и средних значений периодов короткопериодических цефеид типа "а" также приводит к выводу о сходстве характеристик короткопериодических цефеид в направлении галактического центра и в шаровом скоплении NGC 5904.

**The periods of short-period Cepheids in the direction to the galactic center**

E.D.Pavlovskaya

It is shown that for a considerable fraction of short-period Cepheids in the direction to the galactic center ( $\alpha = 18^{\text{h}}00^{\text{m}}$ ,  $\delta = -30^\circ 2$ ), the periods determined by S.I. Gaposhkin are not true but conjugate periods.

A check-up and more precise determination was made of the periods of 76 short-period Cepheids, using only the observational data obtained by S. Gaposhkin. The distribution of periods of short-period Cepheids in the investigated region was compared with that in all of the Galaxy and in five globular clusters. A similarity in distribution of periods in the investigated region and in the globular cluster NGC 5904 is noted.

A comparison of the period-amplitude diagram and the mean periods of type "a" short-period Cepheids also leads to the conclusion that there is a similarity of characteristics of short-period Cepheids in the direction to the galactic center and in the globular cluster NGC 5904.

В работе [1] нами было показано, что для нескольких звезд, расположенных в области с центром  $\alpha = 18^{\text{h}}00^{\text{m}}$ ,  $\delta = -30^\circ 2$  (1950.0) и исследованных С.И. Гапошкиным [2], найдены не истинные периоды, а сопряженные, т.е. периоды, связанные с истинными соотношением

$$\frac{1}{P'} = \frac{1}{P} \pm n$$

где  $P$  – истинный период,  $P'$  – сопряженный, а  $n$  – целое число, равное 1 или 2. Совершенно очевидно, что значение  $n = 2$  должно встречаться реже, чем значение  $n = 1$ , однако для нескольких рассмотренных нами звезд  $n = 2$  (см., например, звезды №№ 42, 144, 226).

В той же статье мы обратили внимание читателей на особенности использованного С.И. Гапошкиным наблюдательного материала, при наличии которых вполне возможны сопряженные периоды. Действительно, 77% всех оценок приходится примерно на одну и ту же долю дня, т.е. почти все пластиинки получены в пределах  $0.1 - 0.2$ . Кроме того, основной наблюдательный материал состоит из отдельных пластиинок; очень редко встречаются серии из трех и более пластиинок, снятых в одну ночь.

Полученный в работе [2] вывод о различии распределений периодов короткопериодических цефеид в исследованной области неба и во всей Галактике представляет большой интерес с точки зрения современной космогонии. Однако в результате предпринятой нами проверки оказалось, что найденные С.И. Гапошкиным периоды нескольких звезд, по-видимому, являются сопряженными, а истинные значения этих периодов близки к  $0.5$ , как и для большинства короткопериодических цефеид в изученной части Галактики. Поэтому в дальнейшем нами были проверены и уточнены периоды 76 из 111 короткопериодических цефеид, исследованных С.И. Гапошкиным [2]; среди оставшихся 35 звезд для 9 в указанной работе не приводятся значения  $P$  и  $\frac{1}{P}$ , для 14 – наблюдения с данной Гапошкиным величиной  $\frac{1}{P}$  не сводятся в одну кривую, а для 12 звезд нами были приняты без всякой проверки периоды, найденные ранее [2]. Из 76 рассмотренных звезд для 53 принятые сопряженные периоды, для 17 после тщательной проверки подтверждены периоды, найденные в работе [2], для 5 звезд периоды несколько уточнены и для одной звезды период определен вновь.

При проверке периода какой-нибудь звезды мы брали величину  $\frac{1}{P}$  из работы [2], изменяли ее на единицу и затем все наблюдения наилучшим образом сводили в одну кривую блеска с величиной  $\frac{1}{P} - 1$ , которая иногда при этом значительно изменялась. Следует обратить внимание на то, что в работе [2] величины  $\frac{1}{P}$  нередко даны с точностью до восьмого и даже девятого десятичного знака; такую точность невозможно обеспечить при наблюдениях, охватывающих период времени всего лишь около трех лет.

При уточнении периодов и построении кривых блеска были использованы только наблюдения С.И. Гапошина [3], поэтому и кривые даются в звездных величинах.

Необходимо отметить, что поскольку мы пользовались только опубликованным материалом, в котором возможны опечатки, то, по-видимому, некоторые оценки блеска не соответствуют действительности; так, например, для звезды № 10 оценка блеска в степенях в момент J.D. 2432416.695 должна быть не 0, а 10. Только при этом предположении мы получаем плавное изменение блеска с течением времени. Совершенно очевидно, что если приводится только одна оценка блеска за ночь, то проверить правильность последней невозможно. Поэтому при решении вопроса о правильности того или иного значения периода

отдельные противоречащие всем остальным точки не всегда принимались во внимание. Так, например, одна минимальная оценка блеска звезды № 27, попадающая на фазу максимума (J.D. 2431675.702), при хорошем расположении всех остальных точек не считалась противоречащей данному значению периода. В подавляющем большинстве случаев мы обращали внимание не на расположение отдельных точек, а на общий разброс точек главным образом на восходящей и нисходящей ветвях кривой. Ясно, что расположение этих точек сильнее всего изменяется при переходе от истинного периода к сопряженному.

В таблице 1 для всех 76 рассмотренных звезд приводятся величины  $\frac{1}{P}$  и  $P$  по определению С.И.Гапошкина и автора данной работы, средняя оценка блеска в максимуме и минимуме, средняя амплитуда изменения блеска в степенях и начальная эпоха  $M_0$ . Звезды с наиболее надежно определенными периодами отмечены звездочкой около порядкового номера. Будем называть в дальнейшем эти звезды опорными. Для иллюстрации в конце статьи приводятся кривые блеска некоторых звезд таблицы 1, причем справа даны кривые с периодом, определенным С.И.Гапошкиным, а слева – с найденным нами. Легко видеть, что для ряда звезд (№№ 2, 12, 14, 22, 50, 53, 59, 70, 79, 82, 105, 118, 124, 136, 143, 193, 226, 237) полученные нами периоды лучше удовлетворяют наблюдениям, чем периоды, найденные в работе [2]. Для звезд №№ 1, 16, 28, 44, 155, 232, 260 оба периода совершенно одинаково удовлетворяют наблюдениям, поэтому в настоящее время по имеющемуся в нашем распоряжении материалу невозможно решить, какой из двух периодов истинный. Все кривые даны в одном масштабе и расположены в порядке увеличения найденных нами периодов.

Рассмотрение этих кривых показывает, что чем больше амплитуда и чем более асимметричная кривая у данной звезды, тем сильнее истинный период отличается от сопряженного, и, следовательно, тем надежнее может быть решен вопрос о периоде той или иной звезды. Наблюдениям звезд с небольшими амплитудами и симметричными кривыми одинаково хорошо удовлетворяют оба периода, поэтому мы в процессе работы отказались от рассмотрения таких звезд.

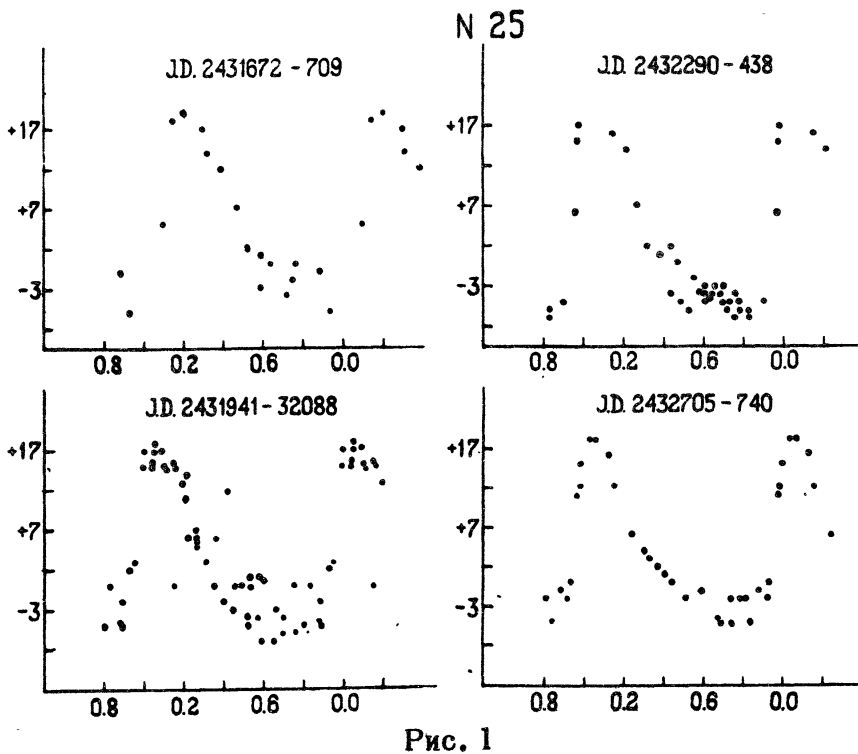


Рис. 1

При уточнении периода звезды №25 оказалось, что невозможно свести в одну кривую все наблюдения этой звезды с одними и теми же элементами. На рис.1 приводятся кривые блеска этой звезды для различных интервалов, вычисленные с одним и тем же периодом. По-видимому, у этой звезды в период J.D. 2431709–2431941 изменилась эпоха максимума. Для интервала времени J.D. 2431672–2431709 элементы:

$$\text{Max} = \text{J.D. } 2431702.660 + 0.45757,$$

а для интервала времени J.D. 2431941–2432740 элементы:

$$\text{Max} = \text{J.D. } 2432706.945 + 0.45757.$$

Период, вероятно, не изменился.

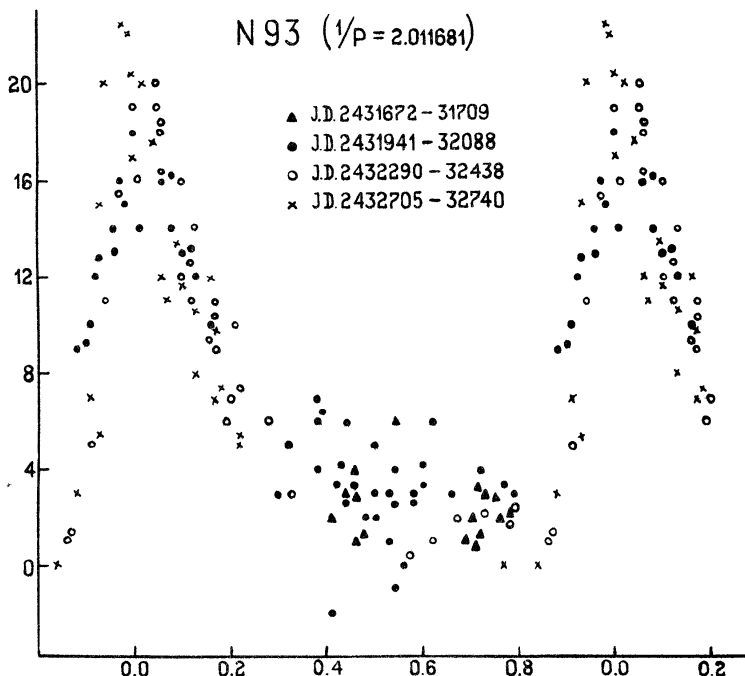


Рис. 2

Звездная величина переменной №93 в максимуме блеска не остается постоянной. На рис.2 приводится кривая блеска этой звезды с периодом, найденным в настоящей работе, причем наблюдения в различные интервалы времени обозначены разными значками.

Рассмотрение данных таблицы 1 показывает, что, во-первых, большинство короткопериодических цефеид в области  $\alpha = 18^{\circ}00'$ ,  $\delta = -30^{\circ}2$  (1950.0) имеет периоды около 0.5, и, во-вторых, звезды с большими амплитудами имеют очень несимметричные кривые. Оба отмеченных обстоятельства не противоречат тому, что наблюдается у короткопериодических цефеид во всей изученной части Галактики.

После исправления и уточнения периодов короткопериодических цефеид в направлении галактического центра интересно было сравнить характеристики этих переменных с аналогичными характеристиками короткопериодических цефеид во всей Галактике. Для этого было

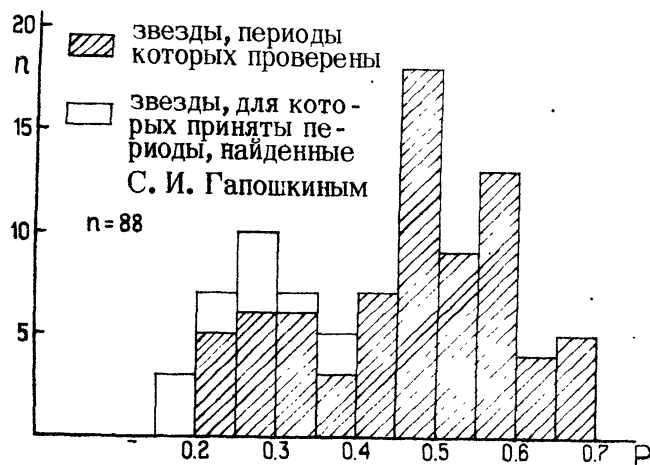


Рис. 3. Распределение периодов короткопериодических цефеид в направлении галактического центра (периоды исправленные)

построено распределение периодов рассмотренных звезд по данным таблицы 1, приведенное на рис. 3. Затем это распределение сравнивалось с распределением периодов короткопериодических цефеид во всей Галактике (см.рис.4). Последнее было построено по данным II издания Общего Каталога Переменных звезд, причем звезды в направлении галактического центра с периодами, определенными в работе [2], не принимались нами во внимание.

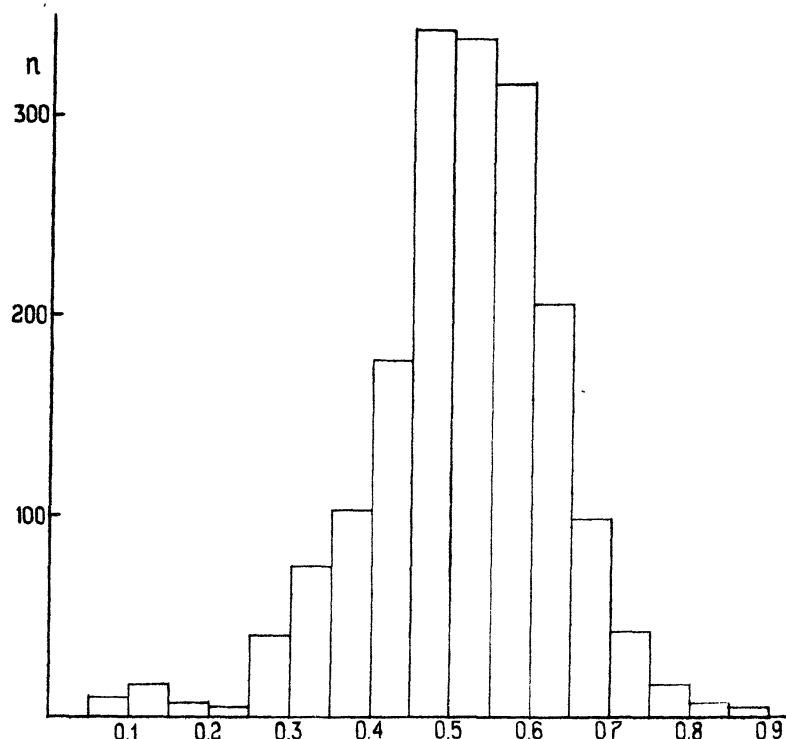


Рис. 4. Распределение периодов короткопериодических цефеид по данным ОКПЗ, 1958

Сравнение двух распределений периодов проводилось с помощью  $\lambda$  – критерия [4], основанного на следующей теореме акад. А.Н. Колмогорова:

Вероятность  $\Phi_n(\lambda)$  неравенства

$$D < \frac{\lambda}{\sqrt{n}}$$

стремится, для  $n \rightarrow \infty$ , равномерно относительно  $\lambda$  к пределу

$$\Phi(\lambda) = \sum_{k=-\infty}^{+\infty} (-1)^k e^{-2k\lambda^2}$$

каков бы ни был непрерывный закон распределения  $F(x)$ .

Сравнение двух эмпирических распределений сводится к следующему. Пусть  $F_{n_1}(x)$  и  $F_{n_2}(x)$  – два интегральных эмпирических закона распределения;  $n_1$ ,  $n_2$  – объемы соответствующих выборок,  $D$  – верхняя граница разности значений  $F_{n_1}(x)$  и  $F_{n_2}(x)$ , а

$$n = \sqrt{\frac{n_1 \cdot n_2}{n_1 + n_2}}$$

В таком случае, если значение  $P(\lambda) = 1 - \Phi(\lambda)$ , где  $\lambda$  определяется из выражения  $\lambda = \sqrt{n} \cdot D$ , мало, то, согласно принципу практической невозможности маловероятных событий, расхождение между двумя эмпирическими распределениями  $F_{n_1}(x)$  и  $F_{n_2}(x)$  нельзя считать случайным.

Практически это расхождение надо считать существенным, если вероятность  $P(\lambda)$ , определенная для данного значения  $\lambda$ , не более 0.05. Вероятность  $P(\lambda)$  находится по специальной таблице, приведенной в упомянутой книге [4].

Описанный выше критерий был применен не только для сравнения распределения периодов короткопериодических цефеид в изучаемой области в направлении центра и во всей Галактике, но также для сравнения исследуемых звезд с короткопериодическими цефеидами в различных шаровых звездных скоплениях и сравнения последних между собой.

Нами были рассмотрены распределения периодов короткопериодических цефеид в пяти шаровых скоплениях: NGC 5272,  $\omega$  Cen, NGC 5904, NGC 7078, NGC 3201, из которых скопления NGC 5272, NGC 5904, NGC 3201 относятся к I группе, а скопления  $\omega$  Cen и NGC 7078 к II [5]. Результаты приведены в таблице 2, столбцы которой не требуют дополнительных пояснений, кроме указания, что исследуемая в работе область обозначена просто "Область". Данные этой таблицы позволяют сделать вывод, что распределение периодов короткопериодических цефеид в изучаемой области более всего похоже на распределение периодов короткопериодических цефеид в скоплении NGC 5904, но отличается существенно от распределения периодов короткопериодических цефеид как во всей Галактике, так и в шаровых скоплениях II типа.

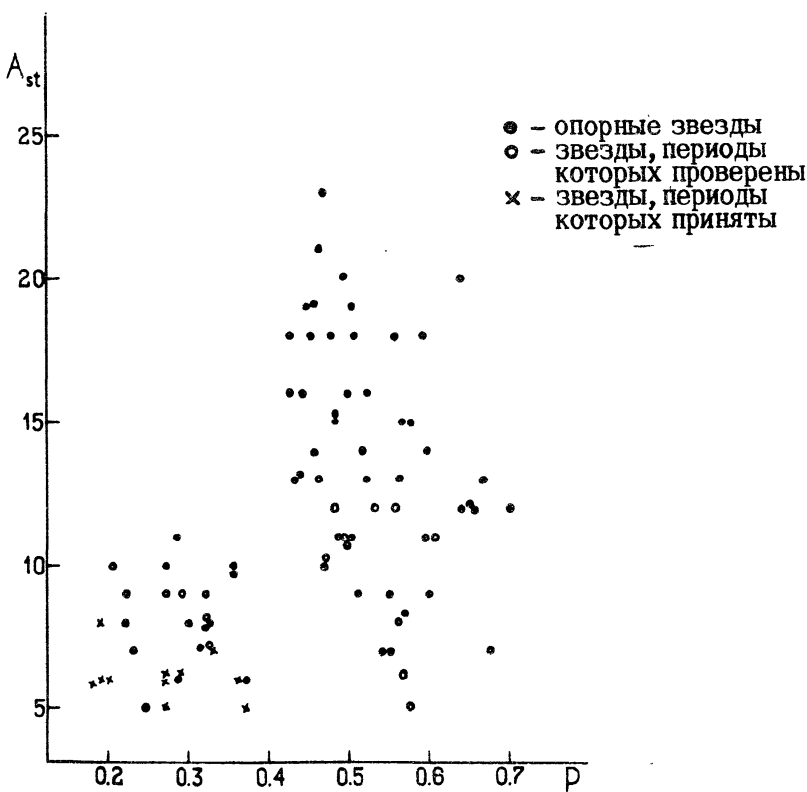


Рис. 5. Зависимость амплитуда — период коротко-периодических цефеид в направлении галактического центра (периоды исправлены)

Для короткопериодических цефеид в изучаемой области была построена диаграмма период—амплитуда, причем амплитуда бралась в степенях, а по второй оси откладывались исправленные значения периодов (см. рис. 5). При сравнении этой диаграммы с аналогичными диаграммами для шаровых звездных скоплений удалось установить сходство построенной диаграммы с диаграммой для скопления NGC 5904.

Таблица 2

№	Обозначение сравниваемых областей	$n_1$	$n_2$	$D$	$\lambda$	$P(\lambda)$	Примечание
1	Галактика—Область	1810	88	0.224	2.05	0.0005	Существен. расхожд.
2	" —NGC 5904	"	89	131	1.21	.108	Случайное "
3	" — $\omega$ Cen	"	135	201	2.25	.0001	Существен. "
4	" —NGC 5272	"	151	107	1.26	.086	Случайное "
5	" —NGC 7078	"	60	245	1.87	.002	Существен. "
6	" —NGC 3201	"	56	302	2.23	.0001	Существен. "
7	Область — $\omega$ Cen	88	135	261	1.90	.002	Существен. "
8	" —NGC 5904	"	89	185	1.23	.099	Случайное "
9	" —NGC 5272	"	151	264	1.97	.0009	Существен. "
10	" —NGC 7078	"	60	267	1.59	.013	Существен. "
11	" —NGC 3201	"	56	523	3.05	.0000	Существен. "
12	$\omega$ Cen —NGC 7078	135	60	094	0.61	.857	Случайное "
13	NGC 5272 —NGC 5904	151	89	134	1.00	.270	Случайное "
14	" —NGC 3201	"	56	213	1.36	.051	Случайное "

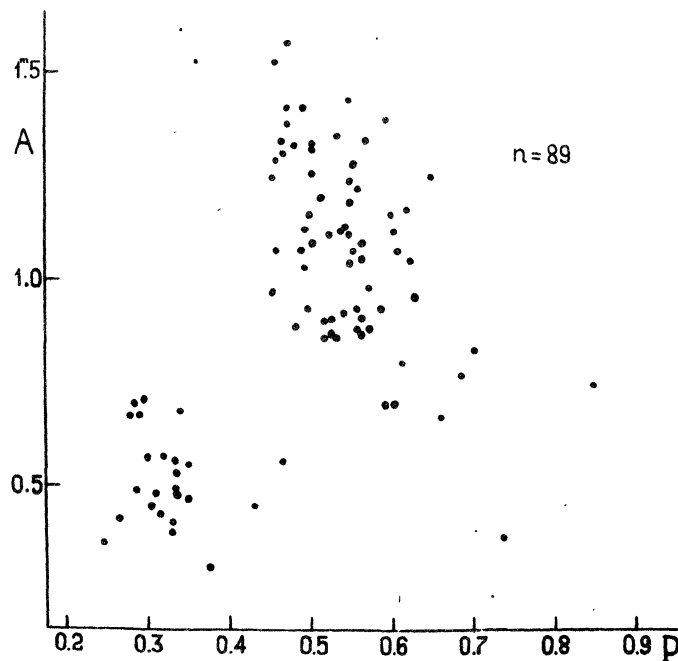


Рис. 6. Зависимость амплитуда – период короткопериодических цефеид в шаровом скоплении NGC 5904

Последняя приведена на рис. 6 по данным работы [6].

Интересно отметить, что средний период короткопериодических цефеид типа "а" в исследуемой области ( $\bar{P} = 0.52821$ ) незначительно отличается от аналогичной величины для скопления NGC 5904 ( $\bar{P} = 0.54650$ ). Сравнение этих двух выборочных средних между собой проводилось следующим образом [4]. Была вычислена величина

$$t = \frac{\bar{x}_1 - \bar{x}_2}{S_{\bar{x}}} ,$$

где  $\bar{x}_1$  и  $\bar{x}_2$  – средние значения для двух выборок,

$$S_{\bar{x}} = S \cdot \sqrt{\frac{n_1 + n_2}{n_1 \cdot n_2}} ,$$

$$S = \sqrt{\frac{\sum (x_1 - \bar{x}_1)^2 + \sum (x_2 - \bar{x}_2)^2}{n_1 + n_2 - 2}} ,$$

$n_1$  и  $n_2$  – объемы двух выборок.

Величина  $t$  подчиняется распределению Стьюдента и может быть оценена с помощью таблиц [4] (таблица V). В данном конкретном случае  $n_1 = 67$ ,  $n_2 = 56$ ,  $\sum (P_1 - \bar{P}_1)^2 = 0.35349$ ;  $\sum (P_2 - \bar{P}_2)^2 = 0.26632$ ;  $t = 1.41$ ,  $k = 121$ . Вычисленная по таблице вероятность случайных значений  $t$ , численно не меньших наблюденного значения, составляет  $P(t) = 0.159$ . Следовательно расхождение между средними значениями периодов короткопериодических цефеид типа "а" в изученной области и в скоплении NGC 5904 можно считать случайным и рассматривать обе эти выборки, как выборки из одной и той же генеральной совокупности.

№	Гапошикина	С.И. Гапошикин		Е.Д. Павловская		$m_{\max}$	$m_{\min}$	A	$M_*$	Примечание
		$\chi^2/\nu$	P	$\chi^2/\nu$	P					
1	1	2.5295771	0.39532	1.526854	0.65494	10	-2	12	2432705.874	
2	2	2.5687080	0.38930	1.565886	0.63862	10	-2	12	2432705.874	
3	3	4.3180969	0.23158							Период принят
4*	4	2.927259	0.34162	1.927410	0.51883	15	2	13	2432416.730	
5*	5	2.1590176	0.46317			19	-4	23	2432737.857	Подтверждён период
6*	10	3.4952532	0.28610	3.495142	0.28611	10	-1	11	2432740.861	
7*	12	3.0920283	0.32341	2.089280	0.47863	17	2	15	2432438.659	
8	13	2.8910591	0.34589	1.888378	0.52956	13	1	12	2432736.821	
9*	14	3.2527017	0.30744	2.250013	0.44444	17	-2	19	2432739.791	
10	15	3.1141640	0.32111	2.111384	0.47362	15	-3	18	2432705.874	
11	16	4.72004627	0.21186	3.717236	0.26902	8	-1	9	2432736.855	
12*	17	2.69531	0.37101	1.692520	0.59083	15	-3	18	2432740.786	
13*	20	2.6839232	0.37259	1.681272	0.59479	16	2	14	2432740.818	
14	21	3.712829	0.26934			7	1	6	2432737.725	Период принят
15*	22	3.3311691	0.30019	2.328306	0.42950	12	-1	13	2432739.728	
16	24	4.8453887	0.20638	4.811488	0.20784	14	4	10	2432739.822	
17	25	3.1884129	0.31359	2.185461	0.45757	17	-4	21	2432001.817	
18*	26	2.3006438	0.43466			12	-1	13	2432740.753	Подтверждён период
19*	27	1.57475566	0.63502			20	0	20	2432736.821	Подтверждён период
20	28	3.8215693	0.26167	2.818820	0.35476	9	-1	10	2432706.916	
21*	29	2.229359	0.44656			13	-5	18	2432739.822	Подтверждён период
22	30	3.5068351	0.28516	3.506755	0.28516	7	1	6	2431999.773	
23	31	2.81394	0.35537	1.811143	0.55214	5	-2	7	2432706.916	
24*	32	2.66899	0.37467	1.666049	0.60022	10	1	9	2432740.753	
25	33	3.6671732	0.27269			6	0	6	2432740.753	Период принят
26*	34	3.3604534	0.29758	2.357703	0.42414	16	-2	18	2432001.762	
27*	37	4.48923524	0.22276			10	2	8	2432740.818	Подтверждён период
28	42	3.6600145	0.27322	1.656864	0.60355	10	-1	11	2432414.744	
29	44	4.4664290	0.22389	3.463729	0.28871	12	3	9	2432740.818	
30*	45	3.2743392	0.30540	2.271539	0.44023	19	3	16	2432739.759	

№	Гапошикина	С.И. Гапошикин		Е.Д. Павловская		$m_{\max}$	$m_{\min}$	A	M <sub>o</sub>	Примечание
		1/P	P	1/P	P					
31*	46	2.338293	0.42766			20	4	16	2432739.759	Подтверждён период
32*	47	4.378282	0.22840			9	2	7	2432740.786	Подтверждён период
33	49	2.735175	0.36561	1.732435	0.57722	14	-1	15	2432705.874	
34*	50	3.2043518	0.31208	2.201533	0.45423	18	-1	19	2432740.818	
35	51	3.181827	0.31428	2.179997	0.45872	14	1	13	2432417.702	Подтверждён период
36	52	4.1093483	0.24335			9	4	5	2432417.702	
37	53	2.768501	0.36121	1.765704	0.56635	4	-2	6	2432417.670	
38	55	3.67416005	0.27217			5	0	5	2432740.786	Период принят
39	56	2.9618940	0.33762	1.956234	0.51119	9	0	9	2432029.706	
40*	59	2.9215675	0.34228	1.918868	0.52114	17	1	16	2432063.674	
41	61	2.7555761	0.36290			14	8	6	2432740.818	
42*	70	3.2049432	0.31202	2.202153	0.45410	15	1	14	2432740.844	
43	74	2.73979246	0.36499	1.7369875	0.57571	8	3	5	2432739.759	
44	78	2.788748	0.35858	1.785980	0.55992	15	7	8	2432740.818	
45*	79	2.9412429	0.33999	1.938513	0.51586	20	6	14	2432737.857	
46*	82	2.77221794	0.36072	1.803339	0.55453	15	-3	18	2432417.702	
47	85	2.686486	0.37223			4	-1	5	2431999.829	Период принят
48*	91	2.50220300	0.39965	1.499423	0.66692	16	3	13	2432740.844	
49*	93	3.01439097	0.33174	2.0111721	0.49709	18	2	16	2432740.753	
50*	99	3.05806	0.332700			7	-1	8	2432739.845	Подтверждён период
51*	105	2.7854181	0.35901	1.782763	0.56093	15	2	13	2432737.857	
52*	106	3.04494664	0.32841	2.0421946	0.48967	4	-16	20	2432740.716	
53*	113	1.74994724	0.57144			8	0	8	2432737.725	Подтверждён период
54*	114	3.1527380	0.31718			6	-1	7	2432739.728	Подтверждён период
55	118	2.7973133	0.35748	1.794636	0.55722	16	4	12	2432739.867	
56*	122	2.0199619	0.49506			28	-1	29	2432000.825	Подтверждён период
57*	124	3.00645862	0.33262	2.003768	0.49906	23	5	18	2432740.844	
58	125	2.05965	0.48552	3.062711	0.32651	15	7	8	2432740.716	
59	127	3.42584274	0.29190			4	-2	6	2432740.716	Период принят

№ Гапош- кина	$\frac{N}{C \cdot I \cdot \Gamma}$	С.И. Гапошкин			Е.Д. Павловская			$m_{\text{max}}$ St	A St	M <sub>o</sub> St	Примечание
		P	$1/\rho$	R	P	$1/\rho$	R				
60	128	2.84910025	0.35099	1.846360	0.54161	9	2	7	2432740.753		
61	133	2.07510649	0.48190			17	2	15	2432414.689	Подтверждён период	
62	136	3.03193568	0.32982	2.029273	0.49279	12	1	11	2432737.725		
63	138	2.684924	0.37245	2.684866	0.37246	9	3	6	2432736.785		
64*	143	2.5374436	0.39410	1.534700	0.65159	8	-4	12	2432739.822		
65	144	3.8199888	0.26178	1.817123	0.55032	14	5	9	2432739.791		
66	155	2.68411340	0.37256	1.681399	0.59474	10	-1	11	2432387.770		
67	160	3.01202	0.33199			13	6	7	2432737.759	Период принят	
68	162			3.118292	0.32069	14	6	8	2432736.821		
69	164	4.5832926	0.21818			10	1	9	2432740.844		
70*	170	1.77359661	0.56383			20	5	15	2432740.716	Подтверждён период	
71	173	2.52615	0.39586	1.47715	0.67698	9	2	7	2432739.759	Подтверждён период	
72	182	3.1404704	0.31842	3.109455	0.32160	11	2	9	2432739.728		
73*	193	3.02688	0.33037	1.990174	0.50247	9	-2	11	2432388.777		
74*	194	2.9747785	0.33616	1.971999	0.50710	19	1	18	2432739.791		
75*	203	2.140361	0.46721			10	0	10	2432737.857	Подтверждён период	
76	204	3.1615153	0.31630	2.158754	0.46323	8	-2	10	2432736.821		
77	211a	3.1041266	0.32215	2.070155	0.48306	11	0	11	2432388.777		
78	216	4.99624332	0.20015			9	3	6	2432739.822		
79	218	3.0546849	0.32737	2.085895	0.47941	16	4	12	2432740.844		
80*	222	3.7044028	0.26995			12	2	10	2432739.822	Подтверждён период	
81*	226	3.431367	0.29143	1.428647	0.69996	10	-2	12	2432740.844		
82	232	2.34495	0.42645	3.347664	0.29872	12	4	8	2432740.818		
83*	237	3.0175164	0.33140	2.014701	0.49635	6	-5	11	2432740.753	Период принят	
84	241	3.7650753	0.26560	2.762295	0.36202	9	-1	10	2432417.702	Период принят	
85	247	5.1977121	0.19239			7	1	6	2432740.753		
86	250	5.3087263	0.18837			4	-4	8	2432740.753		
87	260	2.06897	0.48332	3.068950	0.32584	4	-3	7	2432740.716		
88	276	5.546696	0.18029			8	2	6	2432739.759	Период принят	

Л и т е р а т у р а

1. Е.Д. Павловская, АЖ XXXIV, вып. 6, стр. 956, 1957.
2. С.И. Гапошкин, ПЗ 10, № 6, 1956.
3. С.И. Гапошкин, ПЗ 11, № 4, 1958.
4. В.И. Романовский, Применения математической статистики в опытном деле, М.-Л., 1947.
5. Sidney van den Bergh, AJ 62, № 9, 334, 1957.
6. P.Th.Oosterhoff, Leid. Ann. 17, № 4, 1941.

Гос. астрономический институт

им. П.К. Штернберга

Сентябрь 1959г.

